УДК 539.89

## ТЕХНИЧЕСКАЯ ФИЗИКА

## С. С. ГРИГОРЯН, Я. А. ПАЧЕПСКИЙ

## О ДЕЙСТВИИ СИЛЬНОГО ПОДЗЕМНОГО ВЗРЫВА В ПЛОТНОЙ ГОРНОЙ ПОРОДЕ

(Представлено академиком Л. И. Седовым 16 Х 1972)

Действие сильного подземного взрыва, т. е. совокупность изменений в массиве горной породы, куда был помещен заряд, может изучаться, в частности, путем расчетов. Для этого необходимы модель, описывающая поведение материала—горной породы, модель источника движений, вызванных локальным выделением большой энергии, и методика численного решения уравнений сохранения совместно с уравнениями состояния.

Рассматриваются плотные горные породы, для которых в экспериментально достижимых пределах чисто объемное деформирование обратимо. Предполагается, что материал разрушается либо путем отрыва при до-

стижении максимальным главным напряжением критического значения  $\sigma_* \geqslant 0$ , либо путем скола по площадкам максимального касательного напряжения. Обозначим: p— давление (среднее напряжение),  $J_2$ ,  $J_3$ — второй и третий инварианты девиатора тензора напряжений. Для неразрушенного сколом материала существует зависимость  $J_2 = F(p, J_3)$  такая, что при выполнении в элементе материала соотношений

$$J_2 = F(p, J_3), \quad \frac{\partial}{\partial t} \left[ J_2 - F(p, J_3) \right] > 0$$
(1)

сдвиговое деформирование перестает быть обратимым. В этом случае при низком уровне напряжений происходит разрушение путем скола, при более высоких напряжениях материал обладает пластичностью по сдвигу: существует

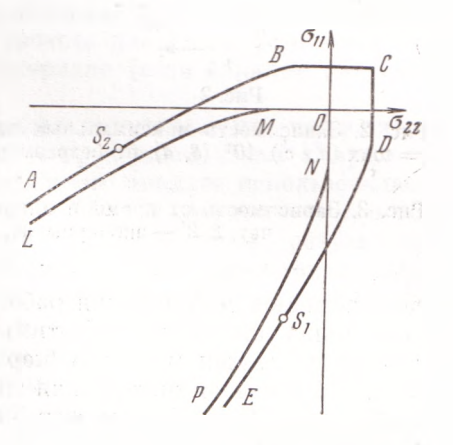


Рис. 1. Диаграмма состояний материала в плоскости  $\sigma_{11}-\sigma_{22}$  для случая  $\sigma_{22}=\sigma_{33}$ 

зависимость  $J_2 = F_b(p, J_3)$  такая, что при выполнении (1) для  $J_2 \ge F_b(p, J_3)$  реализуется сдвиговая пластичность, а для  $J_2 < F_b(p, J_3)$  — разрушение сколом. У неразрушенного и разрушенного сколом материалов совпадают кривые объемного сжатия, но, вообще говоря, рознятся модули сдвига и поверхности пределов упругости: разрушенный сколом материал обладает сдвиговой пластичностью с условием пластичности  $J_2 = F_s(p, J_3)$ , причем  $F_s(p, J_3) \le F(p, J_3)$ .

Пусть  $\sigma_{11}$ ,  $\sigma_{22}$ ,  $\sigma_{33}$  — главные напряжения. Диаграмма состояний материала в плоскости  $\sigma_{11}$  —  $\sigma_{22}$  для случая равенства двух главных напряжений ( $\sigma_{22} = \sigma_{33}$ ) приведена на рис. 1 (¹). Точки, изображающие состояния неразрушенного материала, заполняют внутренность и границу фигуры  $AS_2BCDS_1E$ . На отрезках  $S_1D$ ,  $S_2B$  реализуется разрушение сколом, на  $AS_2$  и  $ES_1$  — сдвиговая пластичность в неразрушенном материале; состояния материала, разрушенного сколом, изображаются точками внутреннос-

ти и границы фигуры LHONP. На BC и CD в неразрушенном материале и на MO, ON в разрушенном сколом происходит разрушение путем отрыва. Полагаем, что в условиях одномерных движений со сферической сим-

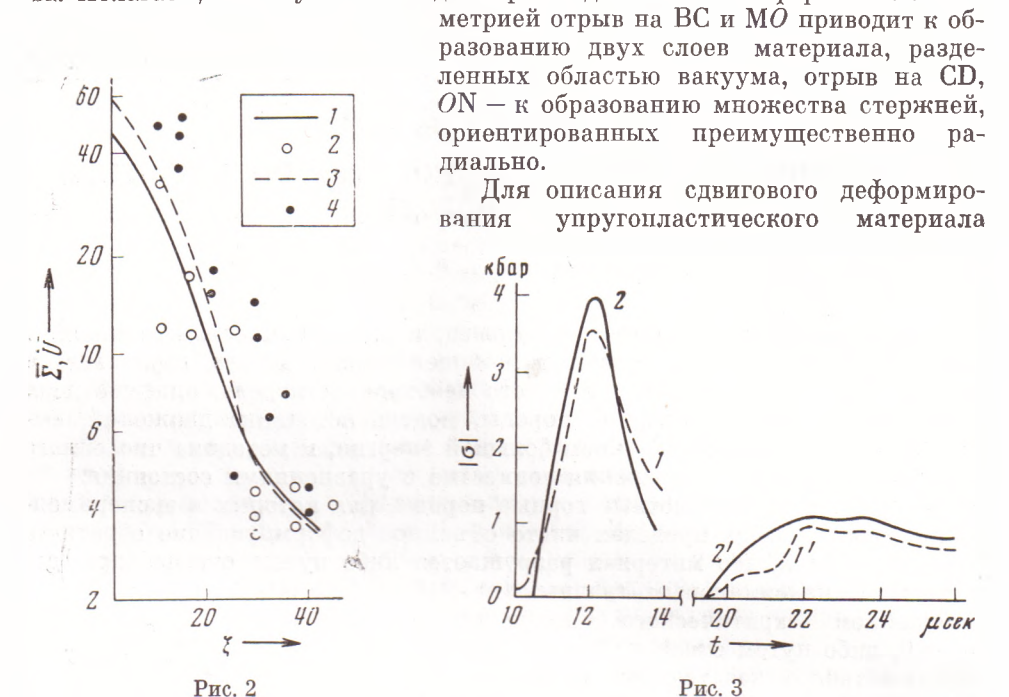


Рис. 2. Зависимость максимальных значений параметров  $\overline{\Sigma} = 10^4 \Sigma_{\rm max}$  (1, 2) и  $\overline{U} = \max_{\tau} (u \ / \ c_l) \cdot 10^4$  (3, 4) от безразмерной координаты  $\xi$ . 1, 3 — расчет, 2, 4 — эксперимент

**Рис.** 3. Зависимость от времени напряжения  $\sigma$  в испытании «Хардхэт»: 1, 1' — расчет, 2, 2' — эксперимент, 1, 2-r=61.8 м, 1', 2' — r=120 м

использованы соотношения работ ( $^2$ ,  $^3$ ). Из рассмотрения уравнения притока тепла для случая обратимых процессов следует, что в качестве основных термодинамических параметров могут быть выбраны удельный объем v, удельная внутренняя энергия E и  $J_2$  и в предположении, что модуль сдвига G = G(v), может быть получена структура зависимости  $p = p(v, E, J_2)$ :

$$p(v, E, J_2) = \varphi\left(v, E - \frac{v}{2G}J_2\right) - \frac{1}{2G}\left(1 - \frac{d \ln G}{d \ln v}\right)J_2.$$
 (2)

Для произвольных процессов принимается гипотеза работы (4), позволяющая сохранить (2) и на случай необратимости. При чисто объемном деформировании  $p(v, E, 0) = \varphi(v, E)$ . Разлагая  $\varphi$  в ряд по E и удерживая нулевой и первый члены разложения, получаем уравнение типа  $\mathrm{Mu} - \Gamma$ рюнайзена  $\varphi(v, E) = f(v) + h(v)E$ . Полагаем, что  $h(v) = \Gamma / v$ ,  $\Gamma$  находится по константам материала при нормальных условиях. Тогда, в силу справедливости (2) на ударной адиабате, определяя из данных экспериментов по ударному сжатию с учетом (1) или закона  $\Gamma$ ука зависимости  $p_H(v)$ ,  $E_H(v)$ ,  $J_{2H}(v)$ , подстановкой их в (2) находим f(v). Экспериментальные значения  $p_H(v)$  приближались в среднем зависимостью

$$p = \frac{K}{n} \left[ \left( \frac{v}{v_0} \right)^{-n} - 1 \right],$$

K — модуль объемного сжатия при нормальных условиях, константа n находилась из условий наилучшего приближения.

Стержневая система, образующаяся при разрушении отрывом, описывается системой уравнений, получаемой в одномерном приближении из интегральных законов сохранения и предположения о выполнении в стержнях закона Гука при их обратимом деформировании. Считается, что после выполнения в элементе материала условия разрушения должно пройти некоторое время до момента, когда справедлива система уравнений разрушенного материала. В этом промежутке времени происходит релаксация параметров материала или параметров состояния до значений в разрушенном материале.

Источник движения моделируется полостью радиуса  $r_0$ , в которой в начальный момент содержится газ с показателем адиабаты ү. Полная энергия газа равна мощности взрыва W,  $\omega$  — отношение кинетической энергии газа к потенциальной. Учитывается противодавление  $p_{00}$ . Безразмерные параметры вводятся путем обезразмеривания параметров размерности скорости по  $c_l$  — скорости продольных упругих волн, плотности — по  $\rho_0$  — начальной плотности материала, напряжения — по  $\rho_0 c_l^2$ . Комбинация имеет размерность длины; безразмерные время и эйлерова

координата равны  $\tau = tc_l / r_*$ ,  $\xi = r / r_*$ ; величина  $\lambda = r_0 / r_*$ . Для всякого безразмерного параметра П может быть найдена зависимость

$$\Pi = \Pi(\lambda, \gamma, \omega; \nu, n, \Gamma, \alpha_1, \ldots, \alpha_k; \xi, \tau), \tag{3}$$

где  $\nu-$  коэффициент Пуассона,  $\alpha_1,\ldots,\ \alpha_k-$  прочие безразмерные параметры модели материала. Введенные безразмерные характеристики позволяют пересчитывать результаты одного расчета для некоторого материала на взрывы любой мощности в этом материале (если влияние противодавления незначительно).

Описанная выше теоретическая схема была применена для численного моделирования взрывов в граните, в котором проводился взрыв «Хардхэт» мощностью в 5 кт (США, (6, 7)). Для численного анализа использовалась программа решения одномерных задач «ПРОЗА», основанная на применении конечно-разностной схемы «крест» (8). Некоторые результаты представлены на рис. 2, 3. Рассчитанный радиус зоны разрушенного материала равен 195 м, опытная величина оценивается в 150 м, радиус образовавшейся полости в эксперименте 19 м, в расчете 17,2 м.

Поскольку параметры материала определяются из экспериментов с большим разбросом, а  $\lambda$ ,  $\gamma$ ,  $\omega$  — эффективные для данного материала значения — находятся в ходе расчетов, целесообразно рассмотреть влияние

							Таблица 1		
	λ	Υ	ω	n	Г	٧	×	$P_{co}$	
$\Sigma_{\max}$ $\xi_c$	_ 	++++	+ -+	+++++	+	+++	+ -	+ -	

изменения безразмерных параметров на получаемые данные о действия взрыва. В качестве характеристик действия взрыва взяты зависимость максимального радиального напряжения  $\Sigma_{\text{max}}$  от координаты  $\xi$  и радиусы полости Ес и зоны разрушения Е. Знаки частных производных этих функций по некоторым безразмерным параметрам в окрестности значений, использованных в расчете, приведены в табл. 1. Введено обозначение  $P_{00}$  =  $= p_{00} / (\rho_0 c_i^2)$ ; варьирование пределов пластичности и разрушения проводилось путем умножения функций F,  $F_s$  на константы  $\varkappa$ ,  $\varkappa_s$  соответственно. Отметим также, что  $\partial \xi_c / \partial \varkappa_s < 0$ ,  $\partial \xi_s / \partial \varkappa_s > 0$ , в ближней зоне  $\partial \Sigma_{\max} / \partial \varkappa_s < 0$ , а начиная с некоторого  $\xi = \xi_{\Sigma}(\varkappa_s)$ ,  $\partial \Sigma_{\max} / \partial \varkappa_s > 0$ .

С удалением от места взрыва влияние изменений параметров источника на значения  $\Sigma_{\max}$  уменьшается, а влияние изменений величин  $\nu$ ,  $\kappa_s$  и  $P_{\text{oo}}$  растет.

Научно-исследовательский институт механики Московского государственного университета им. М. В. Ломоносова

Поступило 8 X 1972

## ЦИТИРОВАННАЯ ЛИТЕРАТУРА

<sup>1</sup> С. С. Григорян, ПММ, 31, в. 4 (1967). <sup>2</sup> С. С. Григорян, ДАН, 124, № 2 (1959). <sup>3</sup> С. С. Григорян, ПММ, 24, в. 6 (1960). <sup>4</sup> С. С. Григорян, ПММ, 24, в. 4 (1960). <sup>5</sup> Л. Д. Ландау. Е. М. Лифшиц, Статистическая физика (классическая и квантовая), М.— Л., 1951. <sup>6</sup> Э. Фаччиоли, А. Х.-С. Анг, В сборн. Действие ядерного взрыва, М., 1971. <sup>7</sup> Peaceful Uses of Nuclear Explosions, Vienna, 1970. <sup>8</sup> Б. А. Рождественский, Н. Н. Яненко, Системы квазилинейных уравнений, М., 1968.